А.Д. Будяков

Санкт-Петербургский политехнический университет Петра Великого, Санкт-Петербург, Россия, sbudyakov@mail.ru

ОПРЕДЕЛЕНИЕ ГЕОМЕТРИИ ЗАЦЕПЛЕНИЯ И СИЛОВЫХ ПАРАМЕТРОВ В ТОЧКАХ МНОГОПАРНОГО КОНТАКТА САТЕЛЛИТА С ЦЕВОЧНЫМ КОЛЕСОМ ПРИ ЗАДАННЫХ КОНСТРУКТИВНЫХ ПАРАМЕТРАХ ПЛАНЕТАРНО-ЦЕВОЧНОГО РЕДУКТОРА

Аннотация

В работе представлена методика расчета и создания математической модели геометрии зацепления сателлита с цевочным колесом планетарно-цевочного редуктора, а также силовых параметров в точках многопарного контакта в программном продукте MathCad. Данная работа систематизирует сведения о различных конфигурациях планетарно-цевочных редукторов и предоставляет готовую математическую модель для аналитического и численного исследования трибологических параметров контакта сателлита с цевочным колесом планетарно-цевочного редуктора.

Ключевые слова: планетарно-цевочный редуктор, мощность сил трения, работа сил трения, цевочное колесо, сателлит.

Введение

Ввиду развития машиностроения и создания более совершенных средств производства и моделирования, усовершенствование механических передач становится одной из важных задач. Для создания более долговечных и износостойких планетарно-цевочных редукторов требуется анализ материаловедческой, так и с конструктивной стороны, которая более подробно рассмотрена в данной статье. Ввиду того, что анализ геометрии профилей рабочих органов планетарно-цевочного редуктора является одной из ключевых задач анализа всего механизма, требуется создание математической модели, которая позволит проводить аналитические либо численные вычисления с высокой точности, с большой производительностью варьируя требуемые геометрические параметры редуктора. Создание подобной математической модели так же позволяет проводить более детальные исследования (на базе математической модели). В частности, исследование силовых параметров в точках многопарного контакта, с целью дальнейшей оптимизации профиля по параметрам мощности и работы сил трения.

Методы и материалы

Для достижения поставленной цели применен программный комплект MathCad, на основе которого разработана математическая модель, позволяющая производить расчеты как аналитическим, так и численным методами.

Результаты и обсуждение

Было выведено уравнение рабочего профиля сателлита (эквидистанта укороченной эпициклоиды) и представлено в параметрическом виде (1) [1-6]:

$$x_{k}(\varphi_{i}) = e \cdot \left(\frac{z_{2}}{\lambda} \cdot \sin(\varphi_{i}) - \sin(z_{2} \cdot \varphi_{i})\right) - r_{c} \cdot \left|\sin(fi(\varphi_{i}))\right| \cdot sign(\sin(\varphi_{i}) - \lambda + \sin(z_{2} \cdot \varphi_{i})),$$

$$y_{k}(\varphi_{i}) = e \cdot \left(\frac{z_{2}}{\lambda} \cdot \cos(\varphi_{i}) - \cos(z_{2} \cdot \varphi_{i})\right) - r_{c} \cdot \left|\cos(fi(\varphi_{i}))\right| \cdot sign(\cos(\varphi_{i}) - \lambda \cdot \cos(z_{2} \cdot \varphi_{i})),$$

$$fi(\varphi_{i}) = atan\left(\frac{\sin(\varphi_{i}) - \lambda \cdot \sin(z_{2} \cdot \varphi_{i})}{\cos(\varphi_{i}) - \lambda \cdot \cos(z_{2} \cdot \varphi_{i})}\right),$$

$$\lambda = \frac{e \cdot z_{1}}{R},$$

$$(1)$$

где ϕ_i — массив угла поворота производящей окружности относительно центра направляющей окружности, где i — номер элемента в массиве, $\phi=0\dots\pi;$

z₂ — число цевок;

λ — коэффициент укорочения эпициклоиды;

R — радиус центроиды сателлита;

rc — радиус цевок;

е — эксцентриситет;

Для описания профиля сателлита в декартовых координатах, создается два массива точек, вычисленных при значениях угла поворота φi от 0 до π с шагом 0,0001. Данный шаг был подобран экспериментальным методом: он обеспечивает высокую точность вычислений, благодаря чему в некоторых формулах не требуется аппроксимация или сглаживание и, во-вторых, создает массив, который компьютер способен обработать за доли секунды, что ускоряет расчеты [7].

Зная координаты центров цевок и их геометрические размеры, продифференцировав уравнение нормали, получаем коэффициент наклона прямой плеча нормали kn. Через этот коэффициент получаем уравнение плеча нормали из центра цевочного колеса nck (2):

$$nck(x) = -\frac{1}{kn} \cdot x \,, \tag{2}$$

А так же из центра сателлита ncs (3):

$$ncs(x) = -\frac{1}{kn} \cdot (x - e). \tag{3}$$

Для определения длины плеч необходимо найти точки пересечения *nck*, *ncs* и нормали к профилю сателлита. Эта операция осуществляется по следующему алгоритму [8-10, 13]:

- 1. Аппроксимация массивов точек, которые задают прямые, точку пересечения которых требуется найти;
 - 2. Вычитание одного массива из другого;
- 3. При помощи функции перебора определяется индекс точки, в которой массив разности поменял знак (проверка на изменение знака не производится, поскольку в реалиях данной задачи, прямые точно имеют точку пересечения);
- 4. По индексу точки ищется абсолютная координата в массиве нормали к профилю.

Отличительной особенностью планетарно-цевочного редуктора является то, что при разности количества зубьев сателлита и числа цевок, равной единице, все зубья сателлита находятся в контакте с цевками (с учетом допущений, оговоренных в начале работы) [14].

Однако стоит отметить, что при вращении сателлита работает (передает и воспринимает силу) только половина цевок, находящихся по одну сторону от диаметра окружности, проходящего через полюс зацепления. При дальнейших расчетах примем, что нагрузку воспринимает половина цевок.

Для компенсации несимметричности воздействия сил в зацеплении обычно ставят два сателлита с нечетным числом зубьев, находящихся в противофазе. Благодаря этому нагрузка распределяется между двумя шестернями, при том силы действуют симметрично на соответствующие половины сателлитов.

Принимая во внимание схему действия сил в зацеплении цевок и сателлита панетарно-цевочного редуктора (рис.1), была получена формула нормальной силы в точке контакта i-той цевки (4).

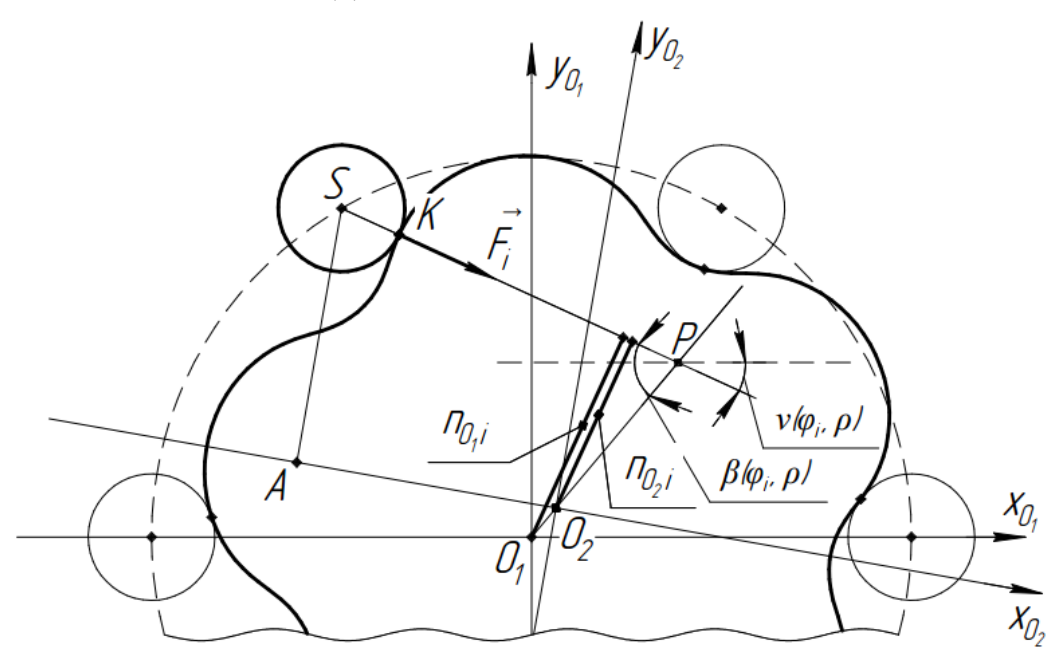


Рисунок 1 — Схема действия сил при повороте цевочного колеса: n_{o2i} — нормаль от центра сателлита, n_{o1i} — нормаль от центра окружности цевок

$$F_i(\varphi_i, \rho) = \left(1 + \frac{1}{u}\right) \cdot \frac{M_2}{e \cdot z_1} \cdot \frac{\sin(\beta(\varphi_i))}{\sum_j \sin(\beta(\varphi_{ij}, \rho))^2}$$
(4)

Момент силы в зацеплении с i-той цевкой (5):

$$M_{i}(\varphi_{i},\rho) = \left(1 + \frac{1}{u}\right) \cdot M_{2} \cdot \frac{\left(\sin(\beta(\varphi_{i}))\right)^{2}}{\sum_{j} \sin(\beta(\varphi_{ij},\rho))^{2}}$$
(5)

Заключение

Разработанная и представленная в данной работе математическая модель геометрии зацепления и силовых параметров в точках многопарного контакта сателлита с цевочным колесом при заданных конструктивных параметрах планетарно-цевочного редуктора предоставляет возможность аналитического и численного исследования трибологических параметров контакта сателлита с цевочным колесом с целью дальнейшей оптимизации параметров зацепления по требуемым критериям.

СПИСОК ЛИТЕРАТУРЫ

- 1. Геометрия палнетарно-цевочных передач, Иванов А.С., Ермолаев М.М., Чиркин А.В., Синицына Ю.В. МГТУ им. Н.Э.Баумана, г. Москва, Россия;
- 2. The Effect of a Cycloid Reducer Geometry on its Loading Capacity, Michail Evgenievich Fedosovskii, Sergei Andreevich Aleksanin, Vycheclav Viktorovich Nikolaev, Ivan Mihailovich Yegorov, Vadim Igorevich Dunaev and Roman Vladimirovich Puctozerov World Applied Sciences Journal 24 (7): 895-899, 2013, ISSN 1818-4952, © IDOSI Publications, 2013, DOI: 10.5829/idosi.wasj.2013.24.07.13352
- 3. Математическое моделирование погрешностей изготовления элементов цевочной передачи планетарного редуктора / И.М. Егоров, С.А. Алексанин, М.Е. Федосовский, Н.П. Кряжев // Научно-технический вестник информационных технологий, механики и оптики, Scientific and Technical Journal of Information Technologies, Mechanics and Optics, 2014, № 6 (94), с.171-176
- 4. Машиностроение и техносфера XXI века // Сборник трудов XXII международной научно-технической конференции в г. Севастополе 14-19 сентября 2015 г.- Донецк: МСМ, 2015. Т. 1. С.144-150;
- 5. Фомин, М.В. Планетарно-цевочные передачи [Электронный ресурс] : учеб. пособие / М.В. Фомин .- М. : Изд-во МГТУ им. Н.Э. Баумана, 2009 .- 64 с. ISBN 978-5-7038-3309-4 .- Режим доступа: https://rucont.ru/efd/287259
- 6. Машиностроение и техносфера XXI века // Сборник трудов XXII международной научно-технической конференции в г. Севастополе 14-19 сентября 2015 г.- Донецк: МСМ, 2015. Т. 1. С.151-157
- 7. Чиркин Александр Вадимович Метод расчета нагрузочной способности планетарно-цевочных передач с пластиковыми сателлитами: дисс. Москва: Московский Государственный Технический Университет имени Н.Э. Баумана (национальный исследовательский университет), 2019
 - 8. Sumitomo, Cyclo 6000 speed reducer. Catalog 03.601.50.007, 2010
 - 9. Кудрявцев В.Н. Планетарные передачи-М-Л.: Машиностроение, 1966. 307 с.
 - 10. Литвин Ф.Л. Теория зубчатых зацеплений. М.: Наука, 1968. -584 с.
- 11. Егоров И.М. Вклад различных участков профилей зубьев сателлита в несущую способность планетарного цевочного редуктора // Современное машиностроение: Наука и образование: материалы 6-й международной научно-практической конференции / Под ред. А.Н. Евграфова и А.А. Поповича.- СПб.: Изд-во Политехн. ун-та, 2017.
- 12. Шефер И.Н. Влияние модуля и числа зубьев на работоспособность прямозубой передачи // Сибирский федеральный университет. [б. г.]. [б. и.].
- 13. Ефременков Е.А. Разработка и проектирование передач с промежуточными телами качения нового вида // Известия Томского политехнического

университета.- 2005.- Т. 308.- №1.- С. 131-135.

- 14. Ли Лисин. Силовой анализ планетарной передачи с циклоидным штифтом [J]. Китайский журнал машиностроения, 1986 (1): 77-79.
- 15. Birman, V. and L.W. Byrd, Modeling and analysis of functionally graded materials and structures. Applied mechanics reviews, 2007. 60(5): p. 195-216.
- 16. Будяков, А. Д. Анализ трибосопряжения ролик-сателлит в планетарно-цевочном редукторе / А. Д. Будяков // Неделя науки СПбПУ: материалы научной конференции с международным участием, Санкт-Петербург, 19-24 ноября 2018 года. Том Часть 2. Санкт-Петербург: Федеральное государственное автономное образовательное учреждение высшего образования "Санкт-Петербургский политехнический университет Петра Великого", 2018. С. 174-176. EDN EIZDYR.

A.D. Budyakov Peter the Great St. Petersburg Polytechnic University, Saint Petersburg, Russia, sbudyakov@mail.ru

DETERMINATION OF THE GEARING GEOMETRY AND POWER PARAMETERS AT THE POINTS OF MULTI-PAIR CONTACT OF THE SATELLITE WITH THE PINWHEEL UNDER THE SPECIFIED DESIGN PARAMETERS OF THE PLANETARY PIN GEAR

Abstract

The paper presents a method for calculating and creating a mathematical model of the geometry of the engagement of a satellite with a planetary gear wheel, as well as power parameters at the points of multi-pair contact in the MathCad software product. This work systematizes information about various configurations of planetary gearboxes and provides a ready-made mathematical model for the analytical and numerical study of the tribological parameters of the contact of the satellite with the pinwheel of the planetary gear.

Keywords: planetary gear box, the power of friction forces, the work of friction forces, pinwheel, satellite.